

Для оценки предлагаемого метода пересчета данных релаксации напряжений на ползучесть была предпринята экспериментальная проверка и прежде всего — в части определения коэффициента ползучести при помощи (11) для шести марок сталей различного состава при различных температурах, при этом сравнивались расчетные значения n^* с экспериментальными n_0

Марка стали	T°	n_0	n^*
Ст. 40	400	8.1	8.6
Ст. 35ХМ	450	2.8	3.6
Ст. 50ХФА	450	9.0	12.0
Ст. 30ХМ	500	5.8	6.5
Р-2	525	1.8	2.5
ЭИ612	650	6.0	5.7

Из этих данных вытекает приемлемая корреляция между n^* и n_0 , тем более, что нередко погрешность в определении истинного коэффициента ползучести из графиков сопротивляемости ползучести составляет $\sim 15\text{--}20\%$.

В качестве исходных данных для пересчета на характеристики ползучести были использованы результаты по релаксации напряжений сплава ЭИ612 длительностью 2000 час. при 650°C и трех значениях начального напряжения (фиг. 2, где $1 - \sigma_0 = 25 \text{ кГ/мм}^2$, $2 - \sigma_0 = 20 \text{ кГ/мм}^2$, $3 - \sigma_0 = 15 \text{ кГ/мм}^2$, причем при расчете использовались результаты стандартной экстраполяции на 5000 час). На основании этих данных были построены первичные кривые ползучести для трех уровней напряжений, при этом, как следует из рассмотрения фиг. 3 (где $a - \sigma = 20 \text{ кГ/мм}^2$, $b - \sigma = 16 \text{ кГ/мм}^2$, $c - \sigma = 14 \text{ кГ/мм}^2$; 1 — расчетная кривая), эти кривые располагаются в полосе разброса экспериментальных результатов при ползучести.

Автор благодарит Л. Я. Либермана, под руководством которого была выполнена экспериментальная часть работы.

Поступила 5 V 1963

ЛИТЕРАТУРА

- Работнов Ю. Н. Равновесие упругой среды с последействием. ПММ, 1948, т. 12, вып. 4.
- Работнов Ю. Н., Некоторые вопросы теории ползучести, Вестн. Моск. ун-та, 1948, № 10, стр. 81—91.

ЗАКРИТИЧЕСКИЕ ДЕФОРМАЦИИ И УСТОЙЧИВОСТЬ ПОЛОГОГО СФЕРИЧЕСКОГО СЕГМЕНТА

Л. И. Шкутин

(Новосибирск)

Рассматривая схему выпучивания, предложенную Погореловым [1] для тонкостенных выпуклых оболочек, можно заметить, что при переходе от зеркального выпучивания к истинному в окрестности границы выпучивания имеет место ярко выраженный краевой эффект. Поэтому энергию деформации в указанной окрестности можно вычислить, исходя из теории краевого эффекта. Такой путь наиболее быстро приводит к цели. Он оказывается особенно удобным в применении к пологим оболочкам, ибо позволяет оценить влияние граничных условий на величину энергии выпучивания, а вместе с ней, и на величину нижней критической нагрузки.

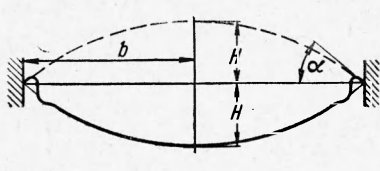
Ниже это будет показано на примере тонкостенного полого сферического сегмента, жестко заделанного по краю и нагруженного с выпуклой стороны равномерным нормальным давлением. Кроме того, будет предложен приближенный способ определения верхней критической нагрузки.

1. Энергия упругой деформации при выпучивании. Процесс выпучивания полого (в смысле определения — [1], стр. 73) сферического сегмента под действием не возрастающей нагрузки обязательно остановится, достигнув края. Для тонкостенного сегмента с жестко заделанным краем форма окончательного выпучивания оказывается весьма близкой к зеркальному отражению сегмента относительно плоскости края. Заметное отличие наблюдается обычно лишь у самой заделки. В связи с этим естественно предположить, что истинная форма выпучивания полого сегмента может быть получена из зеркальной путем некоторой краевой деформации (фиг. 1).

Для вычисления энергии такой деформации воспользуемся теорией краевого эффекта. В соответствии с этой теорией, уравнения сильного изгиба пологого сферического сегмента ([2], стр. 128) принимают вид

$$D \frac{d^2\vartheta}{dr^2} + \frac{\Psi}{R} \left(1 - \frac{R}{r} \vartheta \right) = 0, \quad \frac{1}{Eh} \frac{d^2\Psi}{dr^2} - \frac{\vartheta}{R} \left(1 - \frac{R}{2r} \vartheta \right) = 0 \quad (1.1)$$

Здесь ϑ — угол поворота касательной к меридиану, Ψ — силовая функция, R — радиус сферической поверхности, образующей сегмент, r — расстояние точки недеформированной срединной поверхности сегмента от оси вращения, D — цилиндрическая жесткость, E — модуль Юнга, v — коэффициент Пуассона, h — толщина оболочки.



Фиг. 1

Переходя в (1.1) к безразмерным величинам

$$\eta = \frac{\vartheta}{\alpha}, \quad \psi = \frac{\sqrt{12(1-v^2)} \Psi}{Eh^2 \alpha}$$

$$\xi = k_0 \left(1 - \frac{r}{b} \right)$$

$$k_0 = \frac{b (3(1-v^2))^{1/4}}{\sqrt{R}h} \approx (12(1-v^2))^{1/4} (H/h)^{1/2}$$

и пренебрегая изменяемостью координаты ξ в зоне краевого эффекта, придем к системе

$$\eta'' + 2\psi(1-\eta) = 0, \quad \psi'' - 2\eta(1-\eta/2) = 0 \quad (1.2)$$

(штрих означает дифференцирование по ξ).

Подчиняя решение этой системы условию затухания на бесконечности, сводим ее к одному интегродифференциальному уравнению

$$\eta'' + 4(1-\eta) \int_{\xi_1}^{\xi_2} \left(1 - \frac{\eta}{2} \right) \eta d\xi_1 d\xi_2 = 0 \quad (1.3)$$

совершенно идентичному основному уравнению работы [1].

Следуя [1], решение этого уравнения представим в виде ряда

$$\eta = a_1 z_1 + a_2 z_2 + a_{11} z_1^2 + a_{12} z_1 z_2 + a_{22} z_2^2 + \dots \quad (z_1 = e^{\omega_1 \xi}, z_2 = e^{\omega_2 \xi})$$

Здесь ω_1 и ω_2 — корни уравнения

$$\omega^4 + 4 = 0$$

с отрицательной действительной частью.

При помощи уравнения (1.3) все коэффициенты разложения, начиная с a_{11} , могут быть выражены через a_1 и a_2 . В частности,

$$a_{11} = -0.3 a_1^2, \quad a_{12} = 0.2 a_1 a_2, \quad a_{22} = -0.3 a_2^2$$

Для определения же коэффициентов a_1 и a_2 необходимо использовать граничные условия, которые имеют в данном случае вид

$$\text{или } \vartheta = 2a, \quad \frac{d\Psi}{dr} - v\Psi = 0 \quad \text{при } r = b$$

$$\eta = 2, \quad \psi' \approx 0 \quad \text{при } \xi = 0 \quad (1.4)$$

ибо использование теории краевого эффекта предполагает лишь сохранение старших производных. При помощи (1.4) вычисляем

$$a_1 = (1-i) \left(1 - \frac{1}{5} + \frac{2}{5^2} - \frac{3}{5^3} + \dots \right), \quad a_2 = (1+i) \left(1 - \frac{1}{5} + \frac{2}{5^2} - \frac{3}{5^3} + \dots \right)$$

При найденном решении системы (1.2) энергия деформации в граничной зоне подсчитывается по формуле

$$U_Y = \frac{\pi Rh^2}{6(1-v^2)} p_* J k_0^3 \quad \left(p_* = \frac{2Eh^2}{V^3 (1-v^2) R^2}, J = \frac{1}{4} \int_0^\infty [(\psi')^2 + (\eta')^2] d\xi \right)$$

Вычисляя этот интеграл, получим $J \approx 1.48$. В работе [1] этой величине соответствует $J_0 / \sqrt{2} \approx 0.842$. К такому же результату приедем и мы, если предположим, что рассматриваемый сегмент находится вдали от края оболочки. Таким образом, анализ напряженно-деформированного состояния оболочки в окрестности границы выпучивания укладывается в рамки теории краевого эффекта. Благодаря этому сразу устанавливаем область применимости такого анализа $k_0 \gg i$ и ширину зоны краевого эффекта

$$\Delta \approx \sqrt{R_2^0 h} = b / k_0$$

R_2^0 — нормальная кривизна поверхности в направлении границы выпучивания.

Оказывается также, что используемые в [1] предположения о возможности замены данной оболочки любой другой с теми же геометрическими параметрами границы выпучивания и равенстве энергии деформации внутренней и внешней полуокрестностей границы выпучивания являются следствием пренебрежения изменяемостью геометрии оболочки в окрестности границы выпучивания.

Энергию зеркального выпучивания оболочки вычисляем, как в [1], с той лишь разницей, что из области интегрирования исключаем зону краевого эффекта. В этом случае будем иметь

$$U_g = \frac{\pi R h^2}{6(1-v^2)} p * (1+v) (k_0 - 1)^2$$

2. Выпучивание под действием равномерного нормального давления. Нижняя и верхняя критические нагрузки.

Введем в рассмотрение величину

$$A = p\Delta V, \quad \Delta V = \pi R h^2 k_0^4 / 6 (1 - v^2)$$

Здесь ΔV — удвоенный объем выпущенного сегмента. Заметим, что хотя формулы, полученные для величин U_γ , U_g и A , относятся к окончательному выпучиванию, ими, очевидно, можно воспользоваться при рассмотрении выпучивания, характеризуемого параметром k , бесконечно близким к k_0 . Из условия равновесия такого выпучивания

$$\frac{d}{dk} (A - U_\gamma - U_g) = 0$$

находим, полагая вновь $k = k_0$, нагрузку, уравновешивающую окончательное выпучивание рассматриваемого сегмента

$$p_-^+ = \frac{p_*}{k_0^2} \left[\frac{3J}{4} k_0 + \frac{1+v}{2} \left(1 - \frac{1}{k_0} \right) \right] \quad (2.1)$$

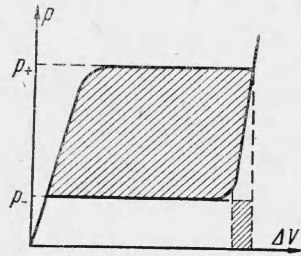
Здесь $J = 1.48$. Если же положить $J = 0.842$, то получим значительно меньшую нагрузку p_-^- , совпадающую с той, которая рекомендована А. В. Погореловым [1] в качестве нижней критической для рассматриваемого сегмента.

Но при $J = 0.842$ формулой (2.1) можно пользоваться для определения нагрузки, уравновешивающей выпучивание, достаточно далекое от окончательного и характеризуемое параметром $k < k_0 - 1$ ($k_0 \gg 1!$). С уменьшением параметра k нагрузка эта, как видим, растет, достигая при некотором значении $k = k_+$ величины p_+^+ . Определяемое таким образом значение k_+ соответствует выпучиванию сегмента с высотой, равной примерно $1/3 H$. Дальнейшее выпучивание происходит при убывающей нагрузке, и лишь в зоне краевого эффекта она начинает резко возрастать, вновь достигая величины p_-^+ .

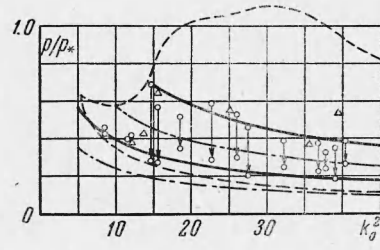
Таким образом, где-то в пределах зоны краевого эффекта должен существовать минимум нагрузок, отвечающих состояниям упругого равновесия с выпучиванием. Этот минимум определяет нижнюю критическую нагрузку. Величина последней должна быть больше p_-^- (ибо ей соответствуют $k < k_0$ и $J > 0.842$), но не может превышать p_+^+ .

Именно это обстоятельство иллюстрирует фиг. 3, где на график, взятый из работы [3] и содержащий экспериментальные (треугольники и кружочки) и теоретические (пунктир) значения критических нагрузок, нанесены кривые, соответствующие нагрузкам p_-^- (нижняя штрих-пунктирная кривая) и p_+^+ (нижняя сплошная кривая). Результаты экспериментов по нагружению сегмента воздухом отмечены треугольниками, по нагружению маслом — кружочками. Вертикальными стрелками соединены верхние и нижние критические значения нагрузки. Пунктирная кривая получена в результате численного интегрирования нелинейных уравнений осесимметричного изгиба жестко заделанной пологой сферической оболочки.

Нижняя ветвь этой кривой дает, по-видимому, точные значения нижней критической нагрузки, ибо соответствующее этой нагрузке упругое выпучивание, как показывает эксперимент, является осесимметричным. Лучшее же соответствие эксперименту сплошной кривой при больших значениях k можно объяснить, вероятно, появлением пластических деформаций, повышающих величину нижней критической нагрузки.



Фиг. 2



Фиг. 3

Что касается верхней критической нагрузки, то для ее определения воспользуемся приближенным соотношением

$$(p_+ - p_-) \Delta V \approx U_\gamma + U_g \quad (2.2)$$

смысла которого становится ясен при рассмотрении диаграммы (фиг. 2), изображающей процесс упругого деформирования с хлопком, характерный для пологой оболочки (заштрихованная площадь соответствует работе внешних сил, перешедшей в энергию закритической деформации).

Из (2.2) находим

$$p_+ \approx \frac{U_\gamma + U_g}{\Delta V} + p_- = \frac{p_*}{k_0^2} \left[J k_0 + (1 + v) \left(1 - \frac{1}{k_0} \right)^2 \right] + p_- \quad (2.3)$$

Следует подчеркнуть, что формула эта применима лишь в тех случаях, когда кинетическая энергия, возникающая при хлопке, мала по сравнению с энергией закритической деформации. Она не приведет, по-видимому, к разумным результатам в случае шарнирного опирания края сегмента, когда энергия деформации в выпученном состоянии близка к нулю.

Зависимость верхней критической нагрузки от параметра k показана на фиг. 3 верхней сплошной линией. При этом в (2.3) было принято $J = 1.48$, а в качестве p_- была взята нижняя критическая нагрузка из [3] (пунктир).

Верхняя штрих-пунктирная кривая изображает зависимость (2.3) при $J = 0.842$ и $p_- = p_-$. Она приведена для того, чтобы оценить влияние граничных условий на величину верхней критической нагрузки.

Как видим, начиная с $k^2 = 15$, лучше всего соответствует экспериментальным значениям верхней критической нагрузки сплошная кривая. Пунктирная кривая дает картину, весьма далекую от истинной. Это говорит о непригодности осесимметричной теории при решении вопроса о верхней критической нагрузке.

Не вызывает принципиальных затруднений обобщение полученных здесь результатов на случай произвольной выпуклой пологой оболочки вращения переменной (но плавно меняющейся) толщины, а также применение этих результатов при других способах нагружения, рассмотренных в работе [1].

Поступила 20 II 1964

ЛИТЕРАТУРА

- Погорелов А. В. К теории выпуклых упругих оболочек в закритической стадии. Изд. Харьк. ун-та, 1960.
- Reissner E. Symmetric bending of shallow shells of revolution. J. Math. Mech., 1958, v. 7, No. 2, p. 121–140.
- Тарстон Г. Численное решение нелинейных уравнений осесимметричного изгиба пологих сферических оболочек. Прикладная механика. (Труды амер. общ. инж.-мех.), 1961, т. 28, серия Е, № 4, стр. 85–91.